

چکیده

مدل‌سازی توزیع ساختمان‌های مسکونی و جمعیت وابسته به آن جزء لینفک در تجزیه و تحلیل خطرپذیری مستقیم و غیرمستقیم مرتبط با سوانح طبیعی از جمله زلزله در محیط‌های شهری است. در این مطالعه، توزیع جمعیت مسکونی همبسته با بناهای مسکونی برآورد گردیده است. این پژوهش مدلی جامع با وضوح مکانی مناسب برای ایران، متناسب با شرایط منطقه‌ای و در نظر گرفتن بانک‌های اطلاعاتی موجود و قابل دسترس ارائه کرده است. روش داسیمتری، روشی کارا جهت توزیع مناسب داده‌های موجود به تناسب شرایط محیطی-منطقه‌ای است که بر اساس نیازها و شرایط مورد نظر امکان تلفیق با داده‌های رقومی کمکی را داشته و توسط مدل‌های آماری توسعه می‌یابد. در این تحقیق، داده‌های آماری (مرتبه با حوزه‌ها و یا بلوک‌های آماری-مرکز آمار) و تصاویر رقومی (شامل تصاویر ماهواره‌ای و داده‌های مدل توزیع جمعیت جهانی ندیسكن)، گردآوری شده که پس از بررسی، پردازش و پالایش، ادغام داده‌ها صورت گرفت. همچنین شاخص‌های مهم و قابل استخراج از تصاویر اپیکی با وضوح بسیار بالا برای قسمتی از یک شهر معروفی شد که در تکمیل بانک اطلاعات ساختمان مفید می‌باشد. به عنوان یک مطالعه موردنی، خسارات لرزه‌ای در قالب میزان تخریب ساختمان‌ها و تلفات انسانی در منطقه مطالعاتی بررسی شده است. در گام اول، با هدف تکمیل و توسعه بانک‌های اطلاعات محیط ساخته شده و برای دستیابی به پارسل‌های ساختمان‌های موجود، روش‌های استخراج اشیاء (ساختمان‌ها)^۱ از تصاویر ماهواره‌ای در بلوک‌های شهری مورد استفاده قرار گرفت. در فاز دیگر، اطلاعات سازه‌ای و جمعیتی با رویکرد داسیمتری برای منطقه مورد نظر به دست آمدند و بانک اطلاعات با توزیع مکانی مناسب توسعه یافت. سپس، پهنگندی حرکت توانمند زمین برای سناریوهای مطرح در منطقه مورد مطالعه تولید شد. در نهایت در گام آخر، برآورد میزان خسارات سازه‌ای و تلفات انسانی مرتبط بر حسب سناریوهای مورد نظر به دست آمد. در منطقه مطالعاتی، برآورد خسارات فیزیکی حاکمی از این است که برای سناریوی مفروض زلزله گسل خزر بیش از ۵۰۰۰۰ واحد مسکونی در معرض تخریب شدید تا فوریت خواهد بود.

واژگان کلیدی: ارزیابی آسیب‌پذیری، مدل‌سازی توزیع جمعیت، داسیمتری، سنجش از دور، برآورد خسارات و تلفات.

مدل‌سازی توزیع ساختمان‌های مسکونی و جمعیت وابسته به آن با رویکرد داسیمتری در برآورد ریسک لرزه‌ای شهری؛ مطالعه موردنی: شهر ساری

بابک منصوری (نویسنده مسئول)

دانشیار، پژوهشکده مدیریت خطرپذیری و بحران، پژوهشگاه
بین‌المللی زلزله‌شناسی و مهندسی زلزله، تهران، ایران،
mansouri@iies.ac.ir

پرهام جلیلوند

دانشجوی کارشناسی ارشد مهندسی عمران-زلزله،
پژوهشگاه بین‌المللی زلزله‌شناسی و مهندسی زلزله، تهران، ایران

محسن غفوری آشتیانی

استاد، پژوهشکده مهندسی سازه، پژوهشگاه بین‌المللی زلزله‌شناسی و
مهندسی زلزله، تهران، ایران

سبب آشفتگی در بافت شهری و افزایش تراکم جمعیتی ساکن در آن می‌شود. ارائه مدل توزیع جمعیتی مطابق با میزان ریسک منطقه و متناسب با شرایط بومی و تحلیل نتایج واقع‌بینانه ابزاری مفید در جهت مطالعات کاهش تأثیرات سوانح به حساب

از دهه‌های گذشته، شاهد افزایش رخداد سوانح طبیعی شهری، بالا رفتن تعداد کشته شدگان در اثر گسترش بافت‌های آسیب‌پذیر شهری بوده‌ایم. متأسفانه تعداد زیادی از شهرها، به دلیل عدم برنامه‌ریزی با محدودیت فضای رویه ره استند و این امر

طريق جزئیات تحلیل تاریخچه زمانی و هم از روش‌های ساده شده مشتق شده باشد. البته روش‌های قضاوی و ترکیبی نیز به وفور مورد استفاده قرار گرفته‌اند و در تنظیم نتایج از سایر روش‌ها نقش داشته‌اند. اولین تابع آسیب‌پذیری تجربی گزارش شده برای کشور مربوط به زلزله روبار-منجلی سال ۱۳۶۹ است که بیشتر برای ساختمان‌های مسکونی نیمه‌مهندسى ساز ارائه گردیده است. این منحنی بر اساس تعیین نواحی هم خسارت و هم شدت زلزله و میزان خسارات شدید تا کامل در مناطق آسیب‌دیده مشخص شده‌اند [۱]. در سال ۲۰۰۰ میلادی، به‌منظور تکمیل مطالعات ریسک لرزه‌ای تهران بزرگ، اطلاعات آسیب‌پذیری برای تعدادی از زلزله‌های ایران که توسط افراد و سازمان‌های مختلف انجام شده بود گردآوری، با توابع برخی کشورهای دیگر مقایسه و نقصان اطلاعات بر اساس اطلاعات سایر کشورها و تنظیم آنها برای کشور صورت گرفت به‌طوری که گونه‌های ساختمانی موجود در بانک‌های اطلاعات آمار نفوس و مسکن مرکز آمار ایران را پوشش داده است [۲]. هیسادا و همکاران [۳] مطالعات توسعه توابع آسیب‌پذیری را با برداشت‌های تخریب ساختمان‌ها در زلزله بم ۱۳۸۲ انجام دادند. در مطالعاتی دیگر، منصوری و همکاران [۴-۵] مطالعات ریسک شهری را برای شهر تهران و نیز مناطقی زلزله‌زده در شمال غربی کشور (منطقه اهر- ورزقان) با توسعه توابع شکنندگی و آسیب‌پذیری همساز با ساخت و ساز کشور بر اساس به‌روز رسانی بانک‌های اطلاعات ساختمانی انجام دادند. همچنین در تکمیل مدل لرزه‌ای جهانی (GEM)^۱، منحنی‌های شکنندگی و توابع آسیب‌پذیری برای گونه‌های سازه‌ای بانک اطلاعات آمار کشور و بر اساس پارامترهای آسیب‌پذیری و شکل‌پذیری سازه‌ها بیان شد [۶]. در خصوص مطالعات آسیب‌پذیری انسانی، جانکمن و همکاران [۷] روشی کلی برای برآورد تلفات انسانی با در نظر گرفتن سه موضوع: ۱) برآورد آثار فیزیکی مرتبط با سانحه، ۲) تعیین تعداد افراد در معرض خطر با توجه به هشدارها و تخلیه، و ۳) برآورد مرگ و میر افراد در معرض خطر ارائه دادند. این روش تلاش می‌نماید پایه‌ای جهت استانداردسازی و تخمين

می‌آیند. مدل‌سازی توزیع جمعیت و برآورد خسارات ناشی از تخریب سازه‌ها با در نظر گرفتن توزیع انواع سازه‌ها با آسیب‌پذیری گوناگون می‌تواند به بالا بردن دقت نتایج محاسبات ریسک زلزله منجر گردد.

به‌منظور به دست آوردن توزیع مکانی مناسب داده‌های ساختمانی و نیز جمعیت وابسته به آن با توجه به شرایط محیطی و مناسب با ویژگی‌های منطقه از روش داسیمتری استفاده شد. این روش امکان تلفیق بانک‌های اطلاعات کلی را با داده‌های رقومی کمکی فراهم می‌سازد و همچنین قابلیت توسعه پایگاه داده توسط مدل‌های آماری را دارد. هدف از مدل‌سازی توزیع جمعیت با روش داسیمتری ارائه‌ی یک مدل تکمیلی و با جزئیات توزیع مکانی بیشتر بوده که مناسب با ویژگی‌های منطقه قابل حصول می‌باشد. در این پژوهش، پس از ارائه مدل داسیمتری، توزیع ساختمان‌ها و جمعیت وابسته به آن برای شهر ساری پیاده‌سازی گردید که بر اساس مدل آسیب‌پذیری، میزان خسارات و تلفات برای سه سناریوی زلزله محاسبه انجام شد. برآورد خسارات فیزیکی حاکی از این است که برای سناریوی زلزله گسل خزر (بزرگای ۷ با کانون شهر ساری) بیش از ۵۰۰۰۰ واحد مسکونی در معرض تخریب شدید تا فروریزش خواهد بود که باید مطالعات دقیق‌تر در این خصوص انجام پذیرد و برنامه‌ریزی مدیریت بحران مناسب با آن تدوین شود.

۲- مطالعات آسیب‌پذیری

مطالعات آسیب‌پذیری شامل تحلیل‌ها و محاسبات کمی خسارات و تلفات سوانح نقش بسیار مهمی را در تصمیم‌سازی‌های کاهش ریسک ایفا می‌نمایند. تحلیل آسیب‌پذیری شامل برآورد پنهنه خطر، شناسایی عناصر در معرض خطر (فیزیکی، اقتصادی، اجتماعی) و ارائه روابط آسیب‌پذیری می‌باشد. دو روش اصلی برای تولید روابط آسیب‌پذیری سازه‌ها وجود دارد. روش اول مبتنی بر برداشت داده‌های مشاهده شده و تجربی تخریب در ساختمان‌هاست. روش دوم مبتنی بر تحلیل عددی سازه‌ها که می‌تواند هم از

می‌باشد. چیزی که نتایج را بهبود می‌بخشد، استفاده از مقادیر قابل انتظار در تقسیمات مکانی ریزتر و یاوضوح مکانی بالاتر می‌باشد. یکی از روش‌های تجزیه مکانی^۴ روش نگاشت داسیمتری می‌باشد که دنت [۹]، لانگکورد و اونوین [۱۰]، و لانگلی و همکاران [۱۱] مطالعاتی در زمینه استخراج سطوح اشغال جمعیت بر اساس پهنه‌های مکانی- جغرافیایی مفروض انجام داده‌اند. همچنین منصوری و امینی حسینی [۶] نقشه‌های توزیع جمعیت و نیز توزیع واحدهای مسکونی کشوری را با روش داسیمتری بر اساس ترکیب داده‌های بومی و برخی مدل‌های توزیع جمعیت در شبکه‌های حدود یک کیلومتر در یک کیلومتر و نیز پنج کیلومتر در پنج کیلومتر برای کل ایران به دست آورده‌اند.

در این پژوهش برای دستیابی به دقت مناسب در توزیع مکانی اطلاعات و با هدف برآورد میزان و گستره خسارات احتمالی و تلفات، از رویکرد داسیمتری استفاده شده است. داده‌های خام نفوس و مسکن از مرکز آمار ایران برای شهر ساری تهیه و بر حسب بلوک‌های آماری بررسی و پالایش گردید. با علم به اینکه در هر بلوک فضاهایی وجود دارد که منطبق با فضای سکونت نمی‌باشد (جاده‌ها و فضای سبز و ...)، و به منظور ارائه دقت بالاتر و خطای کمتر و ارزیابی آسیب‌پذیری دقیق‌تر، تخصیص داده‌های جمعیتی و آماری به پارسل‌ها (اعیان ساختمان‌ها) در بلوک‌ها صورت پذیرفت. باید متذکر شد که بلوک‌های شهری تقسیمات شهرداری بر اساس محاطشدنگی بین نزدیک‌ترین معابر و بلوک‌های آماری تقسیم‌بندی‌های شهر بر اساس ملاحظات برداشت اطلاعات مرکز آمار می‌باشند. در این پژوهه از اطلاعات بلوک‌های آماری استفاده شده است.

در استفاده از روش داسیمتری به دست آوردن پارسل‌های ساختمانی و مشخص نمودن مساحت هریک از آنها جهت تخصیص اطلاعات مورد نظر است. در این روند، استخراج داده‌های ساختمانی (پارسل‌ها) با بهره‌گیری از فناوری سنجش از دور (برای قسمتی از شهر) و نیز داده‌های مکانی کمکی شهری (پارسل‌های موجود در نقشه‌ی طرح تفضیلی شهر ساری) انجام شده است.

خسارت برای مناطق و نواحی گستردۀ تهیه کند. در این مطالعه از توابع آسیب‌پذیری که تحت پروژه GEM برای کشور انجام شده بود استفاده شد.

۳- رویکرد داسیمتری

روش داسیمتری یک روش کارا جهت توزیع مناسب داده‌های موجود به تناسب شرایط محیطی- منطقه‌ای است که بر اساس نیازها و شرایط مورد نظر امکان تلفیق با داده‌های رقومی کمکی را داشته و توسط مدل‌های آماری توسعه می‌یابد. در کارتوگرافی توزیع جمعیت بیش از هر روش دیگری از این روش بهره برده می‌شود که این مهم به دلیل توانایی این روش در انطباق واقع‌بینانه داده‌ها بر جغرافیای محل است. در روش داسیمتری عموماً از داده‌های استاندارد شده استفاده می‌شود که در واقع تخصیص داده‌ها به مکان‌های مورد نظر منوط به در نظر گرفتن توزیع تراکم در محدوده‌ی نقشه با توجه به شرایط منطقه‌ای است که برای این کار به اطلاعات جانبی نیاز است.

چن و همکاران [۸] رویکردی داسیمتری برای تعیین ریسک مناطق مختلف فضاهای اشغال شده مسکونی در جهت تخمین خسارات ارائه کردند. این مدل بر روی ترکیب اطلاعات خطر و نحوه توزیع مکانی مستحدثات که تخمین خسارات را بهبود می‌بخشد تأکید دارد. توصیفات خطر، مانند توزیع شدت‌های زلزله معمولاً به راحتی به صورت پیکسلی یا رستری قابل بیان می‌باشند، ولی داده‌های المان‌های در معرض خطر مانند جمعیت و یا واحدهای ساختمانی اغلب به صورت مناطق تجمیع شده به صورت لکه‌ها یا مناطق نسبتاً وسیع در نقشه مشخص می‌شوند.

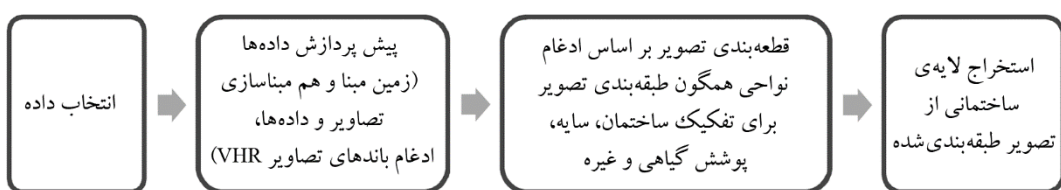
روش کوروپلت^۵ در تولید نقشه بسیار متداول می‌باشد و در این روش توصیفات مکانی به صورت یکنواخت و به صورت میانگین در پهنه هر رکورد آماری در نظر گرفته می‌شود که اغلب با واقعیت انطباق ندارد. همان‌طور که مشهود است، توزیع واحدهای ساختمانی به صورت نامنظم پخش شده‌اند و یا تمرکز ساختمان‌ها در نقاطی بسیار بالا و در برخی نواحی بسیار تنک

تصاویر وضوح بسیار بالا کارآیی مناسبی دارد. در این مرحله به واسطه محدودیت و استفاده از تصاویر فشرده شده و پردازش شده از قبل که توسط سرویس نقشه گوگل ارائه شده است، برای تصویر شهر ساری، مقیاس‌های ۳۰ و ۶۰ و ۱۰۰ انتخاب شد و قطعه‌بندی‌های ایجاد شده با این مقیاس‌ها بررسی گردید. هرچه پارامتر مقیاس افزایش یافت، قطعات ایجاد شده در تصویر نیز بزرگ‌تر می‌شدند و تعداد قطعاتی که ایجاد می‌شوند کمتر و تفکیک بین جزئیات کاهش می‌یابد. همچنین تنظیمات مرتبط با پارامترهای وزن شکل و وزن فشرده‌گی نیز مورد بررسی قرار گرفت تا بهترین تنظیمات مطابق با استخراج ساختمان‌ها از تصویر به دست آمد که با توجه به تصویر مورد استفاده وزن فشرده‌گی و وزن شکل هر دو برابر با ۰/۵ و مقیاس برابر با ۳۰ انتخاب شدند.

پس از استخراج ساختمان‌ها، در مرحله طبقه‌بندی، تعدادی کلاس برای تصویر در نظر گرفته می‌شود و برای هر کلاس یک سری داده‌های آموزشی به الگوریتم معرفی می‌شوند. در بحث استخراج ساختمان‌ها عموماً چهار کلاس (ساختمان، غیر از ساختمان، سایه و پوشش گیاهی) در نظر گرفته می‌شود؛ که در اینجا با در نظر گرفتن اینکه از تصویر سه‌بانده استفاده شده است، تعریف کلاس پوشش گیاهی به دلیل عدم وجود باند مادون قرمز نزدیک امکان پذیر نیست. به منظور طبقه‌بندی بقیه کلاس‌ها تعدادی نمونه آموزشی برای هر کلاس انتخاب و طبقه‌بندی به کمک روش نزدیک‌ترین همسایه انجام شد. شکل (۱) مرافق اگوریتم استخراج ساختمان‌ها را به روش ادغام نواحی و طبقه‌بندی تصویر نشان می‌دهد. نتایج اعمال الگوریتم استخراج ساختمان‌ها برای قسمتی از شهر ساری در شکل (۲) آورده شده است.

۴- استخراج ساختمان‌ها

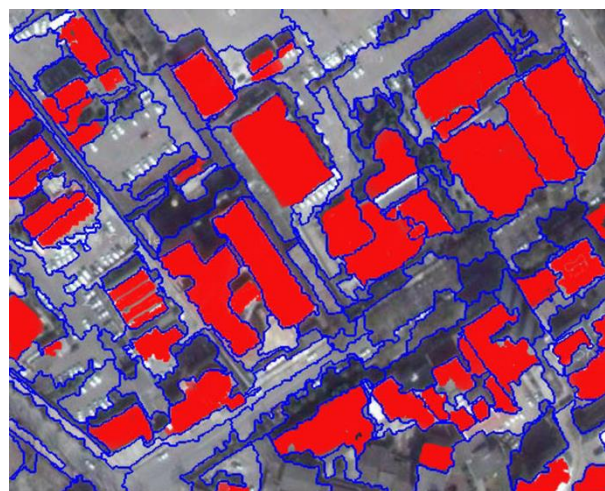
استخراج ساختمان‌ها را می‌توان با استفاده از فناوری سنجش از دور به کمک تصاویر ماهواره‌ای و همچنین اطلاعات به روز شده از محل مورد مطالعه انجام داد که در برگیرنده دو قسمت اصلی قطعه‌بندی و طبقه‌بندی می‌باشد. در ابتدا تصویر موجود با مقیاس مورد نظر و تنظیمات مطلوب قطعه‌بندی می‌گردد. در روند انجام مراحل استخراج ساختمان‌ها با استفاده از تصاویر ماهواره‌ای، یک راه مناسب استفاده از داده‌های VHR با وضوح مکانی اصلی (بدون فشرده‌سازی و تغییر وضوح مکانی) می‌باشد. در این روند تولید تصاویر پنشارپین^۵ بسیار راهگشا می‌باشد که از تلفیق تصویر پانکروماتیک^۶ با وضوح مکانی بسیار بالا با باندهای چند طیفی^۷ با وضوح مکانی کمتر ولی جزئیات طیفی بیشتر به دست می‌آید. با توجه به در دسترس نبودن و برخی مشکلات در جهت تهیه تصاویر هوایی و یا ماهواره‌ای وضوح بسیار بالا و چند بانده برای شهر ساری، برای استخراج ساختمان‌ها در بخش‌هایی از شهر از تصاویر گوگل مپ^۸ در سه باند طیفی (قرمز، سبز و آبی) استفاده شده است. لازم به ذکر است که در اصل، تصاویر گوگل مپ تصاویری VHR بوده که به صورت پنشارپین در آمده ولی فشرده‌سازی رقومی روی آن اعمال شده است که اگرچه کاستی‌هایی دارد ولی در روند کلی مفید واقع شده است. الگوریتم بر اساس ادغام نواحی در تصویر پنشارپین شده و ابزار مورد استفاده در این مرحله نرم‌افزار Ecognition [۱۲] می‌باشد که دستیابی به خروجی مطلوب توسط تنظیم پارامترهای تصاویر را میسر می‌نماید. راهنمای این نرم‌افزار مباحث علمی موارد گفته شده را به صورت مفید ارائه می‌دهد. پیاده‌سازی این الگوریتم برای



شکل (۱): مراحل استخراج لایه‌ی ساختمانی.

مشخص می شود که طبق نتایج الگوریتم و پردازش، تعداد ۸۳ ساختمان با داده های زمینی وفاق داشته ولی تعداد ۳۷ مورد دیگر را الگوریتم ساختمان تشخیص داده حال آنکه داده های مرجع این امر را تأیید نکرده و به عنوان سایر کلاس ها تلقی کرده اند. دقت کاربر نسبت تعداد هر کلاس مورد توافق بین الگوریتم و مرجع به تعداد کل همان کلاس در نتیجه محاسبات الگوریتم می باشد. دقت تولید کننده نسبت تعداد هر کلاس مورد توافق بین الگوریتم و مرجع به تعداد کل همان کلاس در داده های مرجع می باشد. دقت کلی برابر جمع کل توافقات به کل تعداد داده ها می باشد.

بدیهی است دقت ایجاد شده رابطه ای مستقیمی با ویژگی های تصویر نظری قدرت تفکیک مکانی و تفکیک طیفی و چگونگی بافت شهری دارد. در ادامه، به منظور دستیابی به دقت بالاتر و تکمیل اطلاعات برای کل شهر ساری، از پارسل های موجود در نقشه ای طرح تفضیلی شهر ساری بهره برده شد. با توجه به بررسی مقایسه نتایج از تصاویر و همچنین اطلاعات طرح جامع تفضیلی، برخی پارسل های بسیار کوچک در خارج از اعیان ساختمان ها دیده شد که این پارسل ها برخی به سرویس های بهداشتی داخل حیاط و یا بخش هایی نظیر انباری تعلق داشتند و همچنین در مواردی مشاهده گردید که برخی از پارسل ها هم پوشانی دارند و به عنوان مثال در نمونه هایی به جای شمردن دو پارسل مجاور، تعداد بیشتری در نظر گرفته می شود. در صورت در نظر گرفتن و به حساب آوردن این پارسل ها در هر بلوک، تعداد پارسل ها افزایش یافته و به دلیل اینکه جمعیت موجود در هر بلوک باید به کل تعداد پارسل ها اختصاص یابد، این امر باعث می شود که اطلاعات مکانی نادرستی از منطقه مورد نظر به دست آید. برای این منظور پارسل های با مساحت کمتر از ده متر مربع از لایه پارسل های موجود در تمامی مناطق شهر ساری حذف گردید. در مواردی دیگر نیز برخی پارسل ها نظیر برخی مخازن آب، مخازن نفت و فضاهای تجاری بزرگ و غیره در شهر مشاهده شد که این مستحب داده های مساحت زیادی را در بلوک های آماری دربرمی گیرند. به همین علت به منظور حذف این پارسل ها



شکل (۲): ساختمان های استخراج شده (بام ساختمان ها).

به منظور ارزیابی دقت کار انجام شده تعداد ۲۳۳ نمونه به صورت کاملاً تصادفی در تصویر گرفته شده از شهر ساری انتخاب و برای این نمونه ها و اشیاء موجود در تصاویر ماتریس خطای تشکیل گردید. با توجه به اینکه از ۱۲۰ نمونه ای که به عنوان کلاس ساختمان انتخاب و طبقه بندی شد، ۸۳ مورد آن به این کلاس تعلق دارند. دقت ایجاد شده در این کلاس ۶۹ درصد و دقت اندازه گیری شده برای کلاس های غیر ساختمانی و سایر نیز مطابق با نمونه های تصادفی بررسی و محاسبه گردید که نتایج در جدول (۱) گزارش شده است.

جدول (۱): ماتریس خطای کلاس ساختمان و سایر کلاس ها.

دقت کاربر	داده های زمینی			اطلاعات پردازش شده
	جمع کل	سایر کلاس ها	ساختمان	
۶۹ درصد	۱۲۰	۳۷	۸۳	ساختمان
۸۱ درصد	۱۱۱	۹۰	۲۱	سایر کلاس ها
-	۲۲۳	۱۲۷	۱۰۴	جمع کل
-	-	۷۰	۷۹ درصد	دقت تولید کننده

در ماتریس خطای جدول (۱)، قدرت الگوریتم در تفکیک بین کلاس ساختمان و کلاس غیر ساختمان بیان شده است. در هر سطر تعداد اشیائی که در داده های مبنا (زمینی) به صورت مرجع در نظر گرفته شده اند در مقایسه با نتایج طبقه بندی الگوریتم آمده است. به طور مثال، در سطر اول ماتریس،

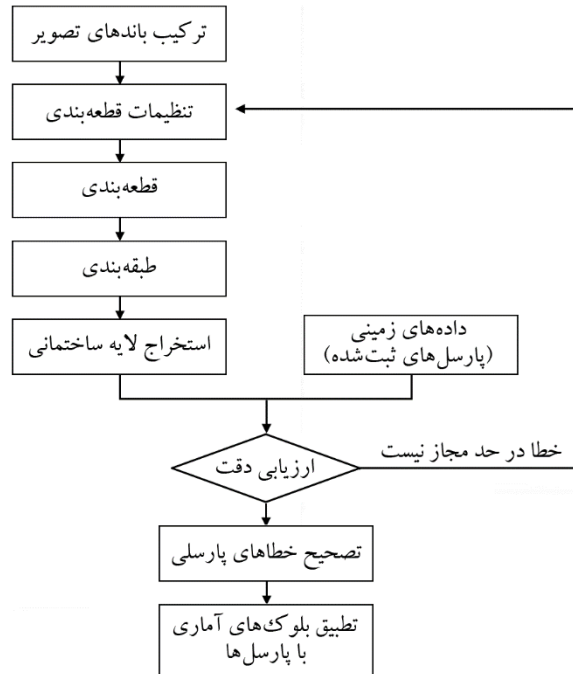
- بین ۱۳۷۵ تا ۱۳۸۵ (رده ۲)
 - از ۱۳۸۵ تا ۱۳۹۰ (رده ۱)
- بنابر این دسته‌بندی، ۹ گونه سازه‌ای حاصل از سه نوع سازه از دیدگاه نوع مصالح و سه رده کیفیتی لرزه‌ای حاصل می‌گردد. تعداد واحدهای ساخته شده در هریک از دسته‌بندی‌های سازه‌ای در هر بلوک با توجه به سال ساخت آنها مشخص گردید و در سه بازه‌ی زمانی برای هر بلوک منظم شدند. جدول (۲) نام‌گذاری این دسته‌بندی‌ها را نشان می‌دهد. در ادامه تعداد و سهم هریک از گونه‌های سازه‌ای در هر بلوک تعیین شدند و به همان نسبت به پارسل‌های هر بلوک اختصاص یافتند. بانک داده اخیر به عنوان یک ورودی برای مرحله‌ی بعدی یعنی تحلیل خطرپذیری منطقه و با توجه به سناریوهای لرزه‌ای مورد نظر جهت بررسی و برآورد خسارات و تلفات قرار گرفت.

جدول (۲): دسته‌بندی سیستم سازه‌ای بر حسب سال ساخت.

برچسب	بازه زمانی ساخت	نوع سازه
S3	قبل از سال ۱۳۷۵	فلزی
S2	بین سال‌های ۱۳۷۵ تا ۱۳۸۵	فلزی
S1	از سال‌های ۱۳۸۵ تا ۱۳۹۰	فلزی
RC3	قبل از سال ۱۳۷۵	بتنی
RC2	بین سال‌های ۱۳۷۵ تا ۱۳۸۵	بتنی
RC1	از سال‌های ۱۳۸۵ تا ۱۳۹۰	بتنی
M3	قبل از سال ۱۳۷۵	بنایی
M2	بین سال‌های ۱۳۷۵ تا ۱۳۸۵	بنایی
M1	از سال‌های ۱۳۸۵ تا ۱۳۹۰	بنایی

داده‌های مرکز آمار مورد استفاده، بر حسب تعداد خانوار و واحدهای مسکونی در بلوک‌های آماری شهر ساری ارائه شده‌اند. مطابق داده‌های مرکز آمار در سال ۹۰ تعداد کل جمعیت ۴۱۷,۲۹۶ نفر و تعداد خانوارهای موجود در این شهر ۷۹۸,۹۰ اعلام گردید. با این احتساب میانگین کل یا مقدار قابل انتظار جمعیت هر خانوار در ساری ۳/۲۶ نفر به دست می‌آید. از طرفی بر اساس این آمار، مساحت میانگین هر واحد مسکونی یا

و کاهش خطای ایجاد شده اقدام به حذف پارسل‌هایی با مساحت بالای پنج هزار متر مربع نیز گردید. با این اصلاحات، پارسل‌های موجود به واحدهای ساختمانی اختصاص داده شدند. شکل (۳) الگوریتم ادغام و تکمیل بانک اطلاعات ساختمانی را مشخص می‌کند.



شکل (۳): فلوچارت توسعه بانک داده‌ها.

۳- نوع سازه‌ها و تعیین اتفاقع متوسط بلوک‌های شهری

در انجام این پروژه، اطلاعات آمار مورد استفاده و در دسترس آمار سال ۱۳۹۰ بوده است. با توجه به نوع سیستم سازه‌ای مشخص شده در اطلاعات آمار، دسته‌بندی سازه‌ها بر اساس نوع بنایی، بتنی و فلزی انجام شد. همچنین دسته‌بندی کیفیت بر اساس قدمت ساخت و در نظر گرفتن تأثیر زمان در عملکرد لرزه‌ای آنها از طرفی بر اساس فرسودگی و از طرف دیگر بر مبنای اعمال آین نامه‌های لرزه‌ای در دوره‌های متفاوت بوده است. در این خصوص سه تفکیک زمانی منطبق با دوره‌های آمار و نیز آین نامه‌ها و دوره‌های مربوط به اعمال استانداردهای طراحی لرزه‌ای دسته‌بندی گردید که به شرح زیر است:

- قبل از ۱۳۷۵ (رده ۳)

موجود نبوده و این امر میسر نشده است. بدیهی است که در دیدگاه وضوح مکانی ریزمقیاس (در حد ساختمان) این گونه مدل‌ها دارای تقریب و عدم قطعیت آشکار می‌باشند ولی در جایی که اطلاعات پارسلی مناسب از مناطق شهری موجود نباشد، برآورد میانگین تعداد طبقات، توزیع واحدهای مسکونی و جمعیت وابسته به آن در گستره بزرگ‌تر مانند بلوک شهری، معنادار و مناسب خواهد بود.

۴- مدل خطرپذیری منطقه مورد مطالعه

در این بخش از پژوهش، مدل انتخابی آسیب‌پذیری منطقی با مدل ارائه شده برای کشور تحت پروژه مدل لرزه‌ای جهانی بوده است [۶-۵]. در انجام آن، بانک‌های اطلاعاتی برای کل کشور توسعه داده شد و توابع آسیب‌پذیری ساختمان‌های مسکونی بر اساس اطلاعات تجربی، تحلیلی و قضاوی جمع‌بندی و ارائه شدند. بر اساس توضیحات ارائه شده در بخش قبل، اطلاعات ساختمانی با جزئیات بیشتر و با دقت مکانی بهتر برای شهر ساری به دست آمد که پایگاه داده در مقیاس پارسل و بلوک‌های آماری توسعه یافتد. برای تحلیل خطر و تعیین ورودی زلزله به مدل ریسک، عمق وقوع زلزله در این شهر با توجه به مطالعات انجام‌شده و نظر کارشناسانه در حدود ۲۰ کیلومتر و جهت بررسی سناریوی زلزله‌ی محتمل گسل خزر در نظر گرفته شده است [۱۳]. مشخصات جغرافیایی این گسل به عنوان ورودی به نرمافزار تحلیل خطر و ریسک مورد استفاده (ELER.V3, 2010) [۱۴] مطالعه وارد شد. به عنوان یک

سطح اشغال میانگین هر خانوار قابل استخراج می‌باشد. به عبارتی میانگین مساحت هر واحد مسکونی که محل سکونت یک خانوار می‌باشد، برای شهر و یا بلوک‌های آماری قابل محاسبه می‌باشند. رابطه (۱) نحوه به دست آوردن کل سطح اشغال خانوارهای هر بلوک آماری را مشخص می‌کند. این در صورتی است که اطلاعات مساحت واحدهای مسکونی برای تقسیم‌بندی‌های بزرگ‌تر مانند حوزه‌های آماری و یا شهر در دسترس باشد که در صورت وجود اطلاعات جزئی‌تر در هر بلوک، میزان سطح اشغال کل مستقیماً به دست می‌آید. رابطه (۲) برآورده از میانگین تعداد طبقات در یک بلوک را به دست می‌دهد. شکل (۴) نمای سه‌بعدی شهر را بر اساس مقدار محاسبه شده ارتفاع بلوک‌های آماری نشان می‌دهد.

$$(1) \quad \text{سطح اشغال کل واحدهای مسکونی هر بلوک} = \frac{\text{تعداد خانوار هر بلوک} \times \text{میانگین مساحت هر واحد مسکونی}}{(1)}$$

$$(2) \quad \frac{\text{سطح اشغال کل واحدهای مسکونی هر بلوک}}{\text{مجموع مساحت پارسل‌های هر بلوک}} = \frac{\text{میانگین تعداد طبقه هر بلوک}}{\text{میانگین ارتفاع بلوک های هر بلوک}}$$

در روش پیشنهادی، ارتفاع میانگین ساختمان‌ها در هر بلوک شهری به صورت یک الگوی کلی مشخص شد. بدیهی است که در واقعیت، مقادیر برداشتی برای هر ساختمان داخل بلوک شهری مفروض حول این میزان متغیر باشند. در بازدید میدانی، نویسنده مشاهدات و تصاویر قابل توجهی از مناطق گرفته و مقناع شده است که در کلیات مدل مناسب است. به جهت مقایسه دقیق‌تر، داده‌های واقعی ارتفاعی شهری برای مقایسه



شکل (۴): نمایش ارتفاع‌دهی به ساختمان‌ها بر اساس میانگین ارتفاعی هر بلوک آماری.

در بررسی و محاسبات خسارات مربوط به سناریوهای مطرح سعی بر این شد که شرایط جمعیتی و سازه‌ای منطقه‌ی مورد بررسی توأمًا مد نظر قرار گیرد.

در ارزیابی خسارات، درجات آسیب‌پذیری سازه‌ای منطبق با روش EMS-98 طبق جدول (۳) و سطوح مختلف خسارات انسانی به شرح جدول (۴) تقسیم‌بندی شدند [۱۶]. همچنین مدل خسارات جانی بر اساس مدل جهانی کابرن-اسپنس (۱۹۹۲) محاسبه شده است [۱۷].

جدول (۳): درجات آسیب‌پذیری سازه‌ای

تعریف میزان خسارت	علامت اختصاری
خسارت جزئی	D1
خسارت متوسط	D2
خسارت قابل توجه تا سنگین	D3
خسارت بسیار سنگین	D4
تخرب	D5

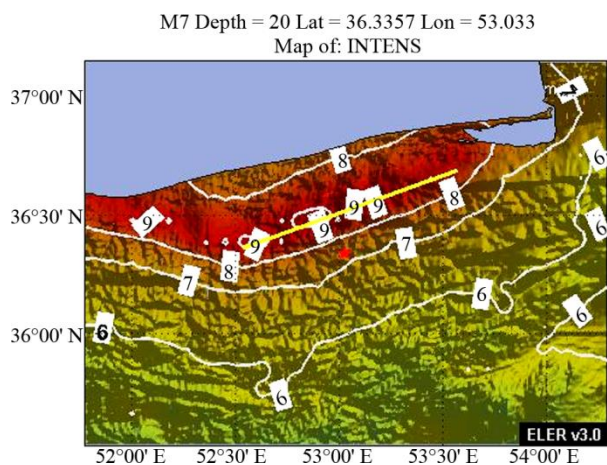
جدول (۴): سطوح خسارات انسانی.

تعریف میزان خسارت انسانی	علامت اختصاری
جراحات ضعیف	S1
جراحات نیازمند درمان در بیمارستان	S2
جراحات شدید	S3
مرگ یا غیرقابل احیاء	S4

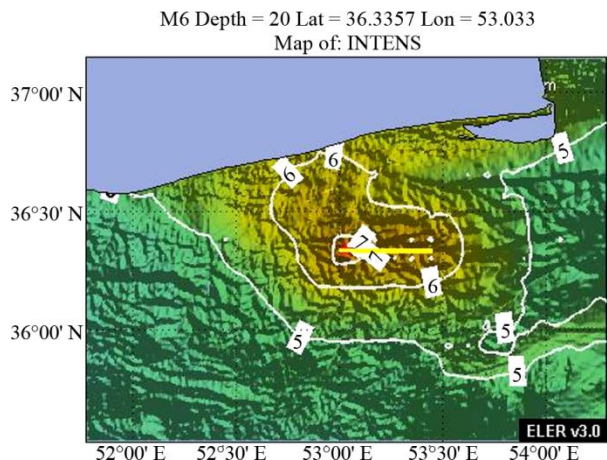
۵- نتایج

بانک اطلاعات مکانی جمعیتی و ساختمانی بر اساس رویکرد داسیمتری و تحلیل‌های مکانی داده‌های جمعیتی و ساختمانی بر اساس داده‌های رقومی مرکز آمار کشور، نقشه‌های طرح تفضیلی و تابخشی از تصاویر ماهواره‌ای به دست آمدند. یکی از رویکردهای متداول در برآورد خطرپذیری و نمایش نقشه‌های ریسک استفاده از شبکه گرید و یا مشاهد مربعی است به طوری که سطح منطقه مورد نظر با وضوح مورد نظر به صورت یکنواخت مشبندی گردد و فارغ از عوارض شهری و ساده‌سازی نمایش داده شود. نتایج سناریوهای مورد بررسی با ترکیب اطلاعات در یک سیستم جامع GIS پیاده‌سازی شد. در

سناریوی محتمل بسیار ویران کننده و بسیار نادر سناریوی گسل خزر با بزرگای ۷ در نظر گرفته شد. شکل (۵) منحنی‌های هم‌شدت را برای مورد سناریوی گسل خزر نمایش می‌دهد. یک سناریوی مطرح دیگر تحت گسل فرضی شناور نیز بررسی گردید به طوری که مسیر آن از پرجمعیت‌ترین و متراکم‌ترین مناطق شهر ساری عبور کند. در این سناریو، بزرگای زلزله‌ای احتمالی برابر ۶ در نظر گرفته شده است که این مقدار تقریبی بوده و در حدود مقادیری است که مطالعات صورت پذیرفته در منطقه و قدرت لرزه‌خیزی گسل‌های موجود نشان می‌دهند [۱۵]. شکل (۶) خطوط هم‌شدت این زلزله سناریو را مشخص می‌کند. بر اساس مشاهدات میدانی، خطوط متصل به منطقه‌ی میدان ساعت، باغ سنگ و میدان سلمان فارسی برای این گسل در نظر گرفته شد.



شکل (۵): نقشه توزیع شدت جنبش زمین بر حسب سناریوی گسل خزر.



شکل (۶): نقشه شدت جنبش زمین بر حسب سناریوی گسل شناور مرکزی.

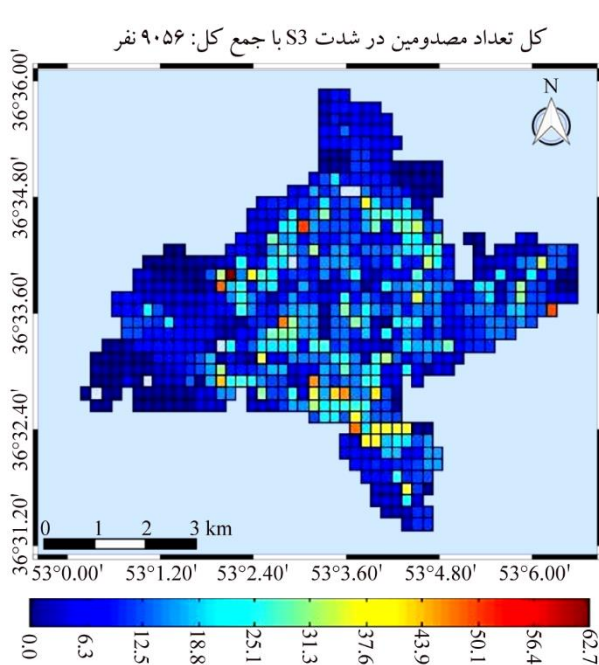
سناریوهای مورد بررسی برای سطوح شدت خسارات جانی بیان می کند. در این مطالعه فرض شده است که زلزله در بدترین شرایط یعنی شب هنگام (عملانه شب تا سحر) رخ داده و جمعیت در منازل مسکونی هستند. جدول (۶) برآورد تخریب واحدهای مسکونی را به تفکیک نوع سازه و مطابق با درجه تخریب بسیار سنگین تا تخریب کامل برای دو سناریوی گسل خزر با بزرگای ۷ و گسل شناور با بزرگای ۶ را نشان می دهد.

این تحلیل ها از محیط نرم افزاری (ELER V3.0, 2010) استفاده شده است. علاوه بر انجام محاسبات ریسک در بلوک های شهری، از رویکرد شبکه گرید نیز استفاده شد که نقشه های مربوطه ارائه گردیدند. نقشه توزیع تخریب واحدهای ساختمانی در شکل (۷) و توزیع تلفات (جراحات شدید) در شکل (۸) به صورت گردیدن مایش داده شده است.

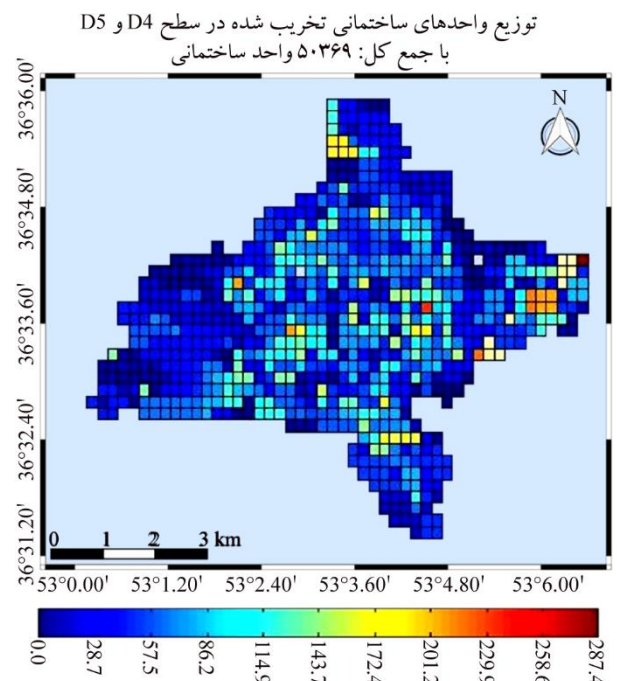
جدول (۵) به طور خلاصه میزان تلفات انسانی را در

جدول (۵): میزان تلفات انسانی در سناریوهای مورد بررسی.

تعداد مصدومین بر حسب سطح شدت آسیب جانی			زلزله سناریو
S3 + S4	S4	S3	
۲۵۰۱۹	۱۵۹۶۳	۹۰۵۶	گسل خزر
۳۳۱	۲۵۶	۷۵	گسل شناور



شکل (۶): توزیع تلفات انسانی (درجه S3 جراحات شدید) مدل جهانی تلفات انسانی (کوبن- اسپنس) برای سناریوی گسل خزر.



شکل (۷): توزیع خرابی واحدهای مسکونی برای سناریوی گسل خزر آسیب های بسیار شدید تا کامل (D4+D5).

جدول (۶): برآورد تخریب واحدهای مسکونی مطابق درجه تخریب بسیار سختگین تا تخریب کامل.

مجموع	M3	M2	M1	RC3	RC2	RC1	S3	S2	S1	نوع ساختمان
D4+D5	حالات آسیب دیده									
۵۰۳۶۰	۹۲۶۱	۲۰۴۴	۲۵۸۱	۱۰۶۲۸	۶۴۸۴	۲۶۹۰	۴۲۶۹	۴۱۴۹	۱۲۵۳	سناریوی گسل خزر
۱۵۳۵	۴۴۶	۴۳۸	۱۲	۴۶۴	۲۸	۸	۸۸	۴۷	۴	سناریوی گسل شناور

ریسک شامل وضعیت موجود و نیز مطالعات کاوش اثرات زلزله به عمل آید و سناریوهای محتمل و مهم دیگر نیز مورد بررسی قرار گیرد و نتایج بر اساس آمار ملموس مدیران و مفید برای جامعه بیان گردد.

تشکر و قدردانی

این مطالعات در راستای انجام پروژه ارتباط با صنعت (مطالعات ریز پهنه‌بندی زلزله و مدیریت بحران شهر ساری) (کد: 7728) در پژوهشگاه بین‌المللی زلزله‌شناسی و مهندسی زلزله تکمیل شده است.

ELER[©] v3.0, ELER (Earthquake Loss Estimation Routine) (2010) is a computer code prepared and provided by KOERI (Kandili Observatory Earthquake Research Institute of Bogazici University, Department of Earthquake Engineering Istanbul). KOERI is acknowledged for providing the software free of charge.

مراجع

1. Tavakoli, B. and Tavakoli, S. (1993) Estimating the vulnerability and loss functions of residential buildings. *Natural Hazards*, **7**(2), 155-171.
2. JICA-Japan International Cooperation Agency (2000) The Study on Seismic Microzoning of the Greater Tehran Area in the Islamic Republic of Iran, Final Report, SSF JR 00-186.
3. Hisada, Y., Shibayama, A., and Ghayamghamian, M.R. (2005) Building Damage and seismic intensity in Bam city from the 2003 Bam, earthquake. *Bull. Earthquake Research Inst. (ERI)*, **79**, 81-93.
4. Mansouri, B., Ghafory-Ashtiani, M., Amini-Hosseini, K., Nourjou R., and Mousavi, M. (2010) Building seismic loss model for Tehran. *Earthquake Spectra, Journal of Earthquake Engineering Research Institute (EERI)*, **26**(1), 153-168.
5. Mansouri, B., Kiani, A., and Amini-Hosseini, K. (2014) A platform for earthquake risk assessment in iran – case studies: Tehran Scenarios and Ahar-Varzeghan Earthquake. *Journal of Seismology and Earthquake Engineering, JSEE*, **16**(1).

۶- جمع‌بندی

با توجه به سطح داده‌های شهری در دسترس و به‌منظور ارائه اطلاعات ساختمانی و جمعیتی با توزیع مکانی هر چه مناسب‌تر، روش داسیمتری در ترکیب و تبیین اطلاعات مورد استفاده قرار گرفت. این اطلاعات محصولی مرکب از پردازش تصاویر ماهواره‌ای، داده‌های طرح تفضیلی که به گونه‌ای از تصاویر پردازش شده هواپی بهره جسته و نیز داده‌های نفوس و مسکن که در بلوک‌های آماری ارائه شده‌اند می‌باشد. واحدهای مسکونی موجود در شهر به تفکیک نوع کلی سازه و کیفیت ساخت منسوب به سه بازه زمانی طبقه‌بندی شده‌اند و بر اساس مطالعات پیشین توابع آسیب‌پذیری برای این گونه‌ها تعیین گردید. با توجه به مطالعات لرزه‌خیزی منطقه، گسل خزر با بزرگای فرضی ۷ به جهت مدل‌سازی تبعات یک زلزله فاجعه بار و بسیار نادر ولی همچنان محتمل در نظر گرفته شد. همچنین برای مقایسه و برآوردهای کلی و بررسی زلزله‌های محتمل‌تر، تبعات لرزه‌ای یک گسل شناور با بزرگای ۶ در عمق ۲۰ کیلومتری در شهر ساری نیز بررسی شد. برای هر دو سناریوی فوق برآورد میزان خسارت ساختمانی و تلفات انسانی به دست آمد که نشان می‌دهد در مورد زلزله بزرگ‌تر که عملاً انتظار می‌رود شدت‌های ۸ تا ۹ در مقیاس MMI تجربه شود حدود نیمی از واحدهای مسکونی دچار آسیب شدید تا فروریزش خواهد شد و ۸/۵ درصد جمعیت دچار آسیب شدید یا مرگ و میر خواهد شد. این به‌واسطه این است که غالب ساختمان‌های مسکونی در رده بنایی و بتی با کیفیت نامطلوب قرار گرفته‌اند. در خصوص سناریوی زلزله خفیف‌تر که شدت‌های قابل انتظار در محدوده ۶ تا ۷ مرکالی به دست آمده، انتظار می‌رود بیش از ۱۵۰۰ واحد مسکونی فقط در شهر ساری خسارت شدید تا فروریزش کامل را تجربه کنند و بیش از ۲۵۰ نفر کشته شوند. این مطالعات به عنوان یک برآورد مقدماتی و کلی است که می‌تواند به عنوان ابزار مفیدی برای مدیریت خطرپذیری و بحران نقش داشته باشد. همچنین لازم به نظر می‌رسد تا مطالعات دقیق‌تر در همه مقاطعه برآورده شوند.

- Scale 1998, *Cahiers du Centre Europeen de Géodynamique et de Séismologie*. Conseil de l'Europe, Luxembourg.
17. Coburn, A. and Spence, R. (1992) *Earthquake Protection*. John Wiley & Sons.
- واژه نامه**
- | | |
|-----------------------------------|-------------------------------|
| Objects Extraction
(Buildings) | ۱- استخراج اشیاء (ساختمان ها) |
| Global Earthquake Model
(GEM) | ۲- مدل لرزه ای جهانی |
| Choropleth | ۳- کوروپلت |
| Disintegration | ۴- تجزیه مکانی |
| Pansharpen | ۵- پنشارپن |
| Panchromatic | ۶- پانکروماتیک |
| Multispectral | ۷- چند طیفی |
| GoogleMap | ۸- گوگل مپ |
6. Mansouri, B. and Amini-Hosseini, K. (2013) *Global Earthquake Risk Model (GEM) - Earthquake Model of the Middle East Region (EMME) - Work Package 4: Seismic Risk Assessment*. Final Report, IIEES Internal Contract #AM 7-269 (15/5/90).
7. Jonkman, S.N., Lentz, A., and Vrijling, J.K. (2010) A general approach for the estimation of loss of life due to natural and technological disasters. *Reliab. Eng. Syst. Saf.*, **95**(11), 1123-1133.
8. Chen, K., McAneney, J., Blong, R., Leigh, R., Hunter, L., and Magill, C. (2004) Defining area at risk and its effect in catastrophe loss estimation: a dasymetric mapping approach. *Appl. Geogr.*, **24**(2), 97-117.
9. Dent, B.D. (1996) *Cartography: Thematic Map Design (4th Ed.)*. Dubuque, IA: Wm. C. Brown Publishers.
10. Langford, M. and Unwin, D.J. (1994) Generating and mapping population density surfaces within a geographical information system. *The Cartographic Journal*, **31**, 21-26.
11. Longley, P.A., Goodchild, M.F., Maguire, D.J., and Rhind, D.W. (2001) *Geographic Information Systems and Science*. Chichester: John Wiley & Sons.
12. Definiens Imaging (2004) e-Cognition 4.0, User Guide, Definiens Imaging GmbH, Munich, Germany.
13. Hessami-Azar, K. (2016) Personal Communication.
14. Hancilar, U., Tuzun, C., Yenidogan, C., and Erdik, M. (2010) ELER software- a new tool for urban earthquake loss assessment. *Nat. Hazards Earth Syst. Sci.*, **10**(12), 2677-2696.
15. Tatar, M., Jackson, J., Hatzfeld, D., and Bergman, E. (2007) The 2004 May 28 Baladeh earthquake (Mw 6.2) in the Alborz, Iran: overthrusting the South Caspian Basin margin, partitioning of oblique convergence and the seismic hazard of Tehran. *Geophysical Journal International*, **170**(1), 249-261.
16. Grunthal, G. (Ed.) (1998) *European Macroseismic*

Developing Building and Population Inventories Using Dasymetry and Remote Sensing Techniques for Urban Loss Estimation – Case Study: City of Sari

Babak Mansouri^{1*}, Parham Jalilvand², and Mohsen Ghafory-Ashtiany³

1. Associate Professor, Earthquake Risk Management Research Center, International Institute of Earthquake Engineering and Seismology (IIEES), Tehran, Iran, *Corresponding Author, email: mansouri@iiees.ac.ir
2. M.Sc. Graduate, International Institute of Earthquake Engineering and Seismology (IIEES), Tehran, Iran
3. Professor, Structural Engineering Research Center, International Institute of Earthquake Engineering and Seismology (IIEES), Tehran, Iran

Residential buildings and associated population distribution modeling, is an integral part for assessing and estimating the direct and indirect risks/losses related to natural disasters, including earthquakes in the built environments such as in urban and rural settings. In this study, the geospatial database for the buildings were derived by compiling existing census data sets and the geospatial map that was derived by the comprehensive urban planning and development of the study area (Sari metropolitan area in Mazandaran, north of Iran) as obtained by the related consultant engineering firm. Combining the information from different data sets with different scales or spatial resolution involves some techniques that are mainly based on statistical inferencing methods and/or utilizing some spatial distribution patterns that exhibit the built environment topology. Once the distribution of the buildings or the residential units are derived and finalized, the population distribution pattern can be extracted based on similar aforementioned concepts. The second step in this research involved the development of the population inventory.

In this study, as mentioned earlier, the statistical datasets from different sources (related to urban zones and city blocks) were combined first. For the purpose of comparison and overall verifications, some digital imageries such as aerial and satellite images were collected in order to extract urban features such as buildings. In this fashion, detailed geometric information concerning each individual building footprint are extracted that can be summarized according to their related city block polygons. This scheme was applied for some selected parts of the city that can be evenly utilized and extended for any desired geographic extents. In conducting the present research, a simplified method for building height (or city parcel height) assignment was also delivered that indicates the average number of stories within each city block.

After the urban database has been developed (building and population inventories), the earthquake damage to the elements at risks (i.e. building destruction and human casualty) can be assessed in the study area. As a case study, the metropolitan area of Sari was focused, and some probable hypothetical scenario earthquakes were considered. For each scenario earthquake, damages to the building stock and the associated human losses were estimated according to some predefined domestic vulnerability functions and a global human casualty model as reported. For example, as a result, considering the Khazar Fault earthquake scenario, more than 5000 housing units are expected to experience very heavy damage to destruction.

This study has presented a comprehensive model according to the existing data sets and the local conditions for the study area that can be modified, upgraded and updated with newer and more accurate data whenever accessible. Also the same method can be applied for other parts of the country. Moreover, the results indicate that the expected damages, losses and human casualties are high and alarming suggesting more detailed study on the region and also devising and implementing suitable disaster management measures for the region.

Keywords: Risk Assessment, Risk Modeling, Loss Estimation, Geospatial Databases, Building Inventory, Population Distribution, Dasymetry, Remote Sensing.